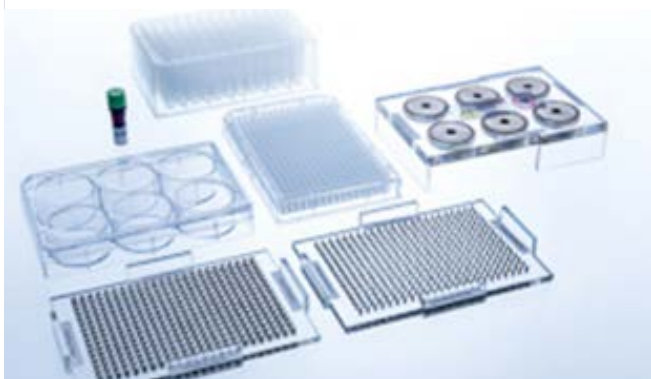


Technologie Greiner MAGNETIC 3D Cell Culture M3D (suite)

Impression magnétique d'anneau et système d'imagerie

Référence	Format	Désignation	Contenu	€ HT le kit
655846	96 puits	Kit BIOASSAY™ 96 puits	- 1 x Spheroid Drive : support pour formation de sphéroïdes par bio-impression - 1 x Levitating Drive : support pour formation de sphéroïdes en lévitation - 1 x Holding Drive : support de maintien des sphéroïdes	NC -
655849	96 puits	Kit BIOASSAY™ 96 puits avec système d'imagerie	Composition identique à la référence 655846 avec système d'imagerie référence 657860 : - 1 x n3Dock - 1 x Système d'imagerie - 1 x Light pad	NC -
781846	384 puits	Kit BIOASSAY™ 384 puits	- 1 x Spheroid Drive : support pour formation de sphéroïdes par bio-impression - 1 x Levitating Drive : support pour formation de sphéroïdes en lévitation - 1 x Holding Drive : support de maintien des sphéroïdes	NC -
073055	384 puits	Kit BIOASSAY™ 384 puits avec système d'imagerie	Composition identique à la référence 781846 avec système d'imagerie référence 657860 : - 1 x n3Dock - 1 x Système d'imagerie - 1 x Light pad	NC -

Système d'imagerie et consommables M3D



Référence	Désignation	Contenu	€ HT le kit
657860	Kit système d'imagerie	- 1 x n3Dock - 1 x système d'imagerie - 1 x Light pad - 1 x ventilateur - 1 x adaptateur AD-USB - 1 x rallonge - 1 x logiciel	NC -

MagPen

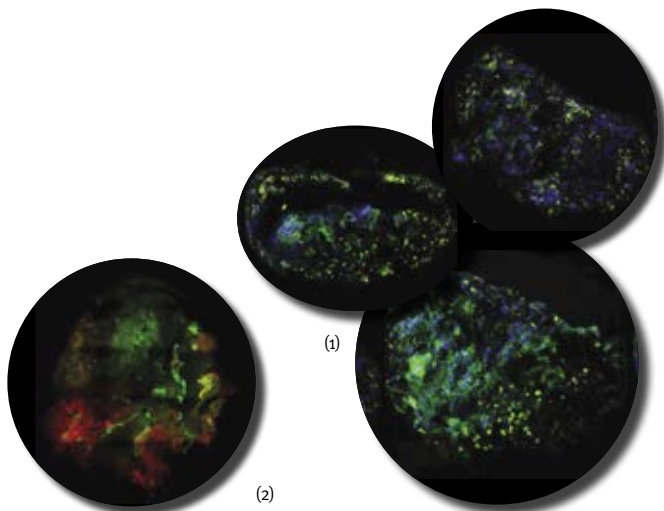


Stylo magnétique permettant la manipulation individuelle des sphéroïdes formés.

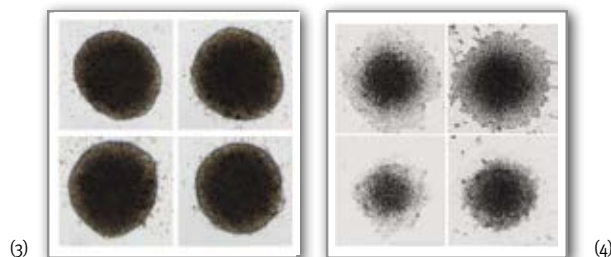
Référence	Désignation	Unités/sachet	Unités/carton	€ HT/carton
657850	MagPen stylos aimantés	1	3	NC -

Billes magnétiques Nanoshuttle™ -PL

Référence	Désignation	Unités/sachet	Unités/carton	€ HT/carton
657841	Billes magnétiques Nanoshuttle™ -PL, tube de 600 µl	1	1	NC -
657843	Billes magnétiques Nanoshuttle™ -PL, tube de 600 µl	1	3	NC -
657846	Billes magnétiques Nanoshuttle™ -PL, tube de 600 µl	1	6	NC -
657852	Billes magnétiques Nanoshuttle™ -PL, tube de 600 µl	1	12	NC -



Nos solutions, vos résultats



- (1) Ravi Birla, *et al.* Assembly of a functional 3D primary cardiac construct using magnetic levitation, *AIMS Bioengineering*, 3(3): 277-288 (2016)
- (2) Leenhardt, R., Camus, M., Mestas, J.L. *et al.* Ultrasound-induced Cavitation enhances the efficacy of Chemotherapy in a 3D Model of Pancreatic Ductal Adenocarcinoma with its microenvironment. *Sci Rep* 9, 18916 (2019).
- (3) Noel, P., Muñoz, R., Rogers, G. W., Neilson, A., Von Hoff, D. D., Han, H. Preparation and Metabolic Assay of 3-dimensional Spheroid Co-cultures of Pancreatic Cancer Cells and Fibroblasts. *Vis. Exp.* (126), e56081, doi:10.3791/56081 (2017).
- (4) 25 and 50 µg/ml - Hau, H., Khanal, D., Rogers, L., Suchowerska, N., Kumar, R., Sridhar, S., McKenzie, D. and Chrzanowski, W. (2016), Dose enhancement and cytotoxicity of gold nanoparticles in colon cancer cells when irradiated with kilo and mega voltage radiation. *Bioengineering & Translational Medicine*, 1: 94-102.